



Зотова Л.И.

**Географический факультет МГУ
им. М.В. Ломоносова**

**МЕТОДИЧЕСКИЕ АСПЕКТЫ
СОСТАВЛЕНИЯ ОЦЕНОЧНЫХ
МЕРЗЛОТНО-ЭКОЛОГИЧЕСКИХ КАРТ
НА ЛАНДШАФТНОЙ ОСНОВЕ**

***Methodical aspects of environmental
permafrost mapping based on the
landscapes***

Используемые методы

- Методы ландшафтной индикации,
- Методы дешифрирования материалов дистанционного зондирования
- методы экспертных оценок,
- расчетно-статистические методы
- методы пространственного ГИС-анализа

КАРТЫ УСТОЙЧИВОСТИ ЛАНДШАФТОВ КРИОЛИТОЗОНЫ К АНТРОПОГЕННЫМ НАГРУЗКАМ

Масштабы 1:25 000 – 1:4 000 000

Устойчивость как способность противостоять техногенной активизации криогенных процессов наряду с изменениями природных комплексов

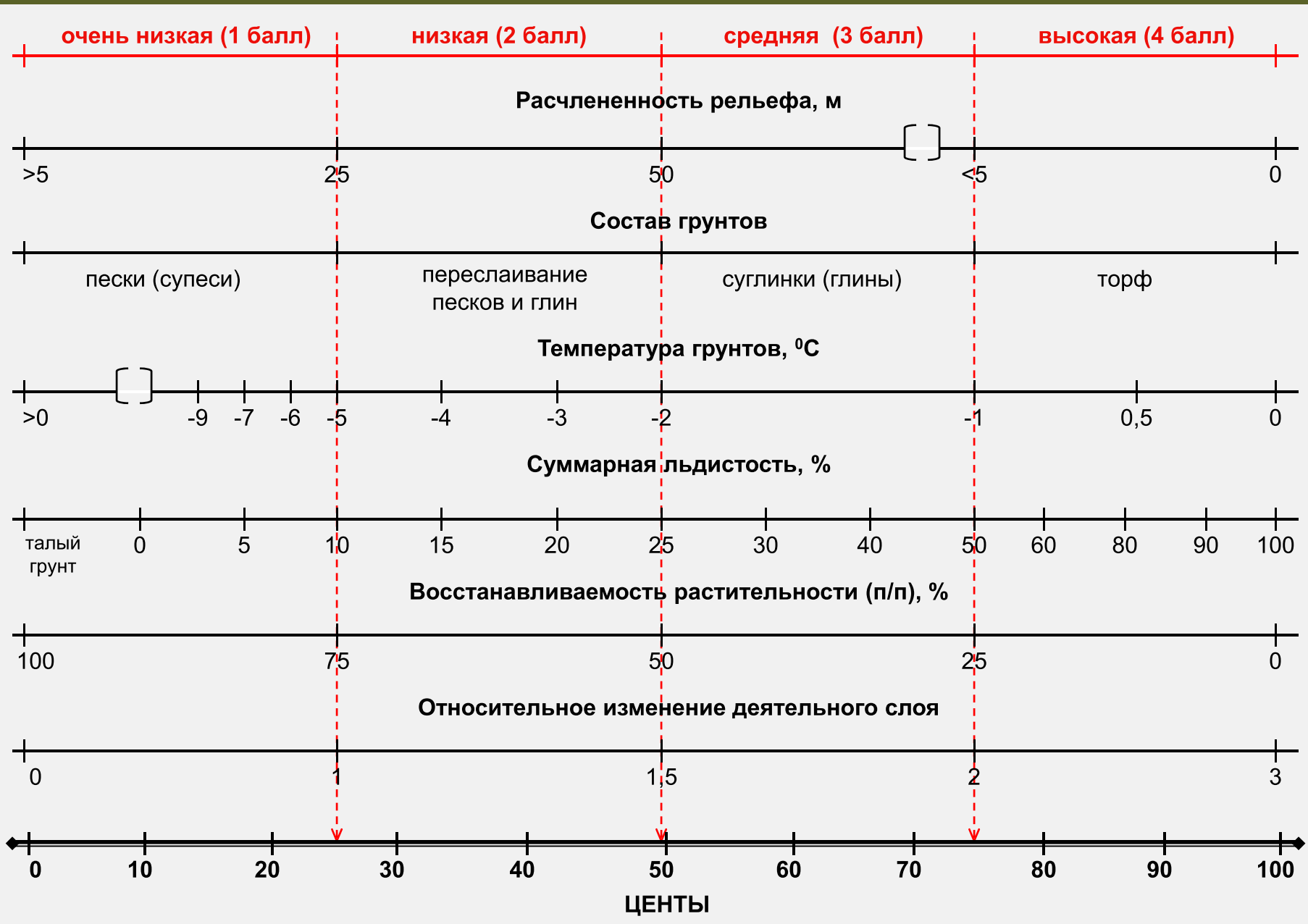
ВЕДУЩИЕ ФАКТОРЫ УСТОЙЧИВОСТИ

- ❖ Среднегодовая температура грунтов, град. С
- ❖ Льдистость грунтов, доли ед.
- ❖ Протекторные свойства растительного покрова
- ❖ Увеличение глубины СТС после нарушений
- ❖ Скорость восстановления растительности, лет

ШКАЛА ВЛИЯНИЯ ПРИРОДНЫХ ФАКТОРОВ НА СНИЖЕНИЕ УСТОЙЧИВОСТИ ЛАНДШАФТОВ В КРИОЛИТОЗОНЕ

| Природные факторы | Оценка влияния в баллах | | | |
|--|---------------------------------------|---------------------------------------|---|--|
| | 1 балл (не влияет) | 2 балла (слабо влияет) | 3 балла (заметно влияет) | 4 балла (нарушает) |
| Расчлененность рельефа (превышение водораздела над урезом рек, озер), м | 5-25 | 25-30 | 50 | 5 |
| Сосотав грунтов | пески (супеси) | переслаивание песков (супесей) и глин | суглинки (глины) | торф |
| Температура грунтов, град. С | ниже -5 или выше 0 | от -2 до -5 | от -1 до -2 | от 0 до -1 |
| Суммарная льдистость (влажность), % | 10 | 10-35 | 35-50 | 50 |
| Растительность (восстанавливаемость, проективное покрытие на 10-й год), % | 75-100 быстро восстанавливается | 50-75 средне восстанавливается | 25-50 медленно восстанавли- вается | 0-25 практически не восстанавли- вается |
| Глубина сезонного протаивания - промерзания. Увеличение ее после нарушений | не изменяется, уменьшается | увеличивается в 1,5 раза | увеличивается в 2 раза | увеличивается более чем в 2 раза |

ОПАСНОСТЬ ПРОЯВЛЕНИЯ ФИЗИКО-ГЕОЛОГИЧЕСКИХ ПРОЦЕССОВ



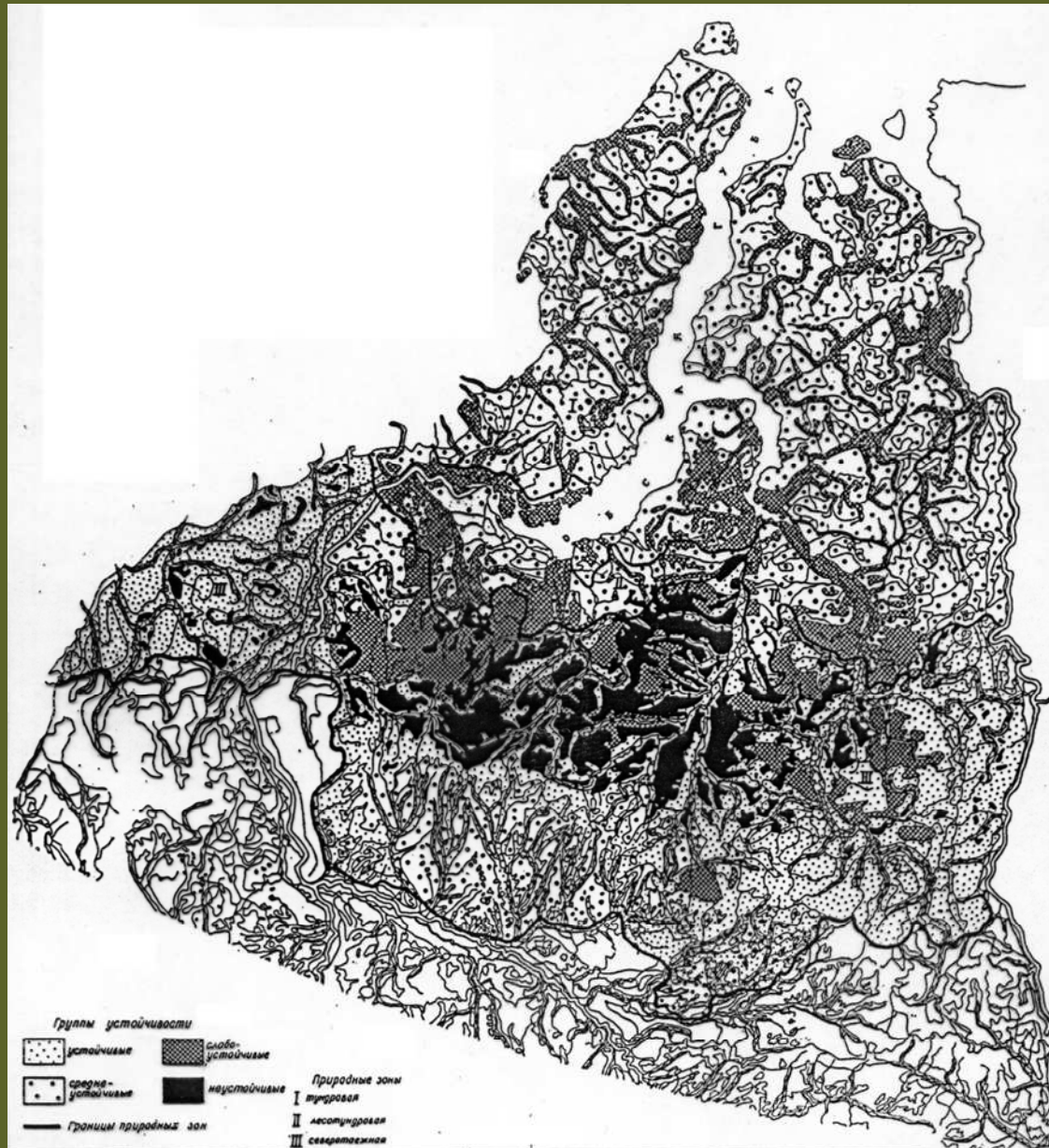
Оценка устойчивости ландшафтов криолитозоны Западной Сибири

| Распространение многолетнемерзлых пород | Природная зона и подзона | ТИП ЛАНДШАФТА (индекс по карте А.Г. Исаченко) | Расчлененность рельефа | Состав грунтов | Температура грунтов | Льдистость | Восстановимость растительности | Изменение глубины деятельного слоя | ∑ баллов | Степень устойчивости ландшафта |
|---|--------------------------|---|------------------------|----------------|---------------------|------------|--------------------------------|------------------------------------|------------------|--------------------------------|
| | | | | | | | | | ср. геом. центов | |
| 1 | 2 | 3 | 4 | 5 | 6 | 7 | 8 | 9 | 11 | 12 |
| СПЛОШНОЕ | ТИПИЧНАЯ ТУНДРА | Низм. аллюв. и озерно-аллюв. равнины (4/3) | 1 | 1 | 1 | 3 | 3 | 2 | 12 | среднеустойчивые |
| | | | 5 | 10 | 15 | 80 | 60 | 40 | 22,89 | |
| | | Долины рек (4/Пт) | 4 | 4 | 1 | 4 | 1 | 2 | 16 | слабоустойчивые |
| | | | 90 | 85 | 20 | 85 | 5 | 35 | 36,27 | |
| | ЛЕСО-ТУНДРА | Ледово-морск. и холм.-морен. возвыш. (9/11,18) | 2 | 2 | 2 | 3 | 3 | 2 | 14 | среднеустойчивые |
| | | | 25 | 30 | 25 | 55 | 50 | 26 | 33,71 | |
| | | Долины крупных рек (9/Плт) | 4 | 1 | 3 | 3 | 1 | 3 | 15 | |
| | | | 90 | 15 | 65 | 65 | 10 | 65 | 39,34 | |
| ПРЕРЫВИСТОЕ И ОСТРОВНОЕ | ТАЙГА СЕВЕРЯ | Низменные моренные суглинистые равнины (14/11) | 3 | 3 | 4 | 3 | 2 | 4 | 19 | слабоустойчивые |
| | | | 60 | 65 | 85 | 60 | 45 | 85 | 65,61 | |
| | | Пологохолмистые моренные песчаные возвышенности (14/19) | 3 | 1 | 1 | 1 | 3 | 1 | 10 | относит. устойчивые |
| | | | 65 | 20 | 3 | 4 | 65 | 20 | 18,14 | |
| | | Надпойменные террасы рек (14/11а) | 4 | 4 | 4 | 4 | 4 | 3 | 23 | неустойчивые |
| | | | 80 | 85 | 80 | 80 | 80 | 65 | 78,06 | |
| | | Долины мелких рек (14/15а) | 4 | 4 | 1 | 1 | 2 | 2 | 14 | среднеустойчивые |
| | | | 80 | 80 | 9 | 10 | 30 | 35 | 29,08 | |

Градации устойчивости ландшафтов

| | относит. устойчивые | среднеустойчивые | слабоустойчивые | неустойчивые |
|--------------------|---------------------|------------------|-----------------|--------------|
| по ∑ баллов | 7-10 | 11-14 | 15-19 | 20-23 |
| по ср.геом. центов | 10-20 | 21-34 | 35-64 | 65-80 |

Карта устойчивости ландшафтов криолитозоны Западной Сибири



ГРУППЫ УСТОЙЧИВОСТИ:



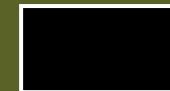
Относ. устойчивые
($\Sigma = 7-10$; $K_0 = 10-20$)



Средне устойчивые
($\Sigma = 11-14$; $K_0 = 21-34$)



Слабо устойчивые
($\Sigma = 15-19$; $K_0 = 35-64$)



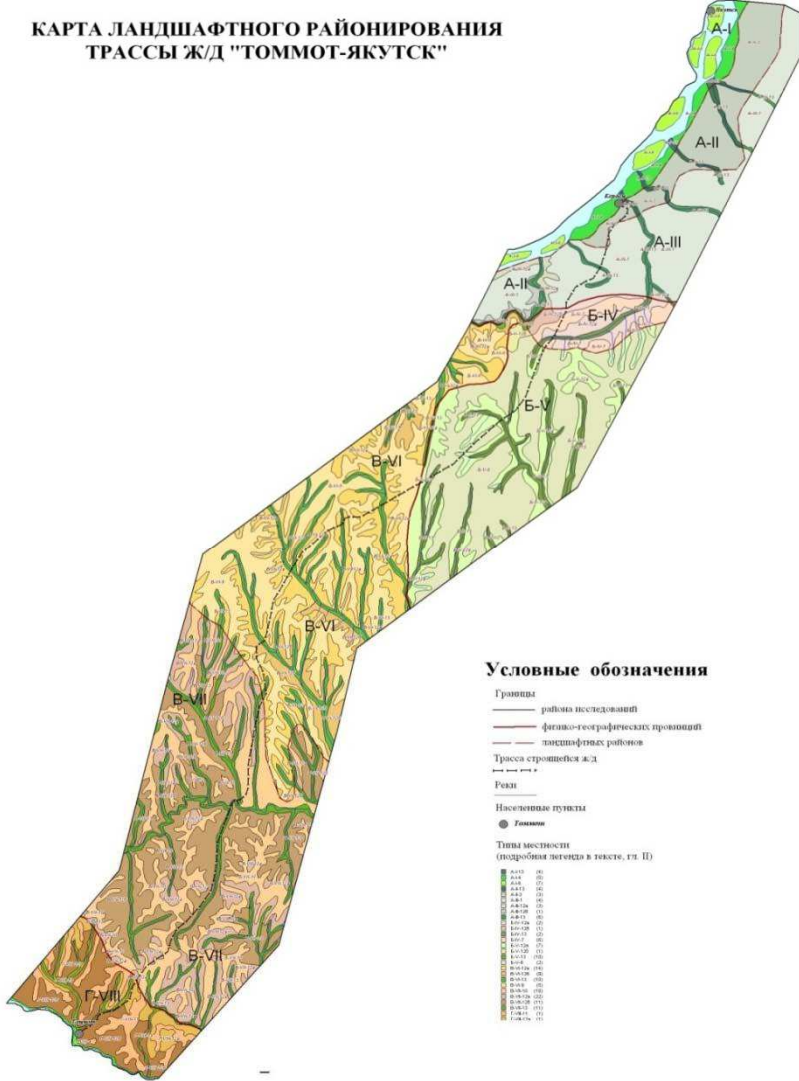
Неустойчивые
($\Sigma = 20-23$; $K_0 = 65-80$)

Масштаб 1:4 000 000

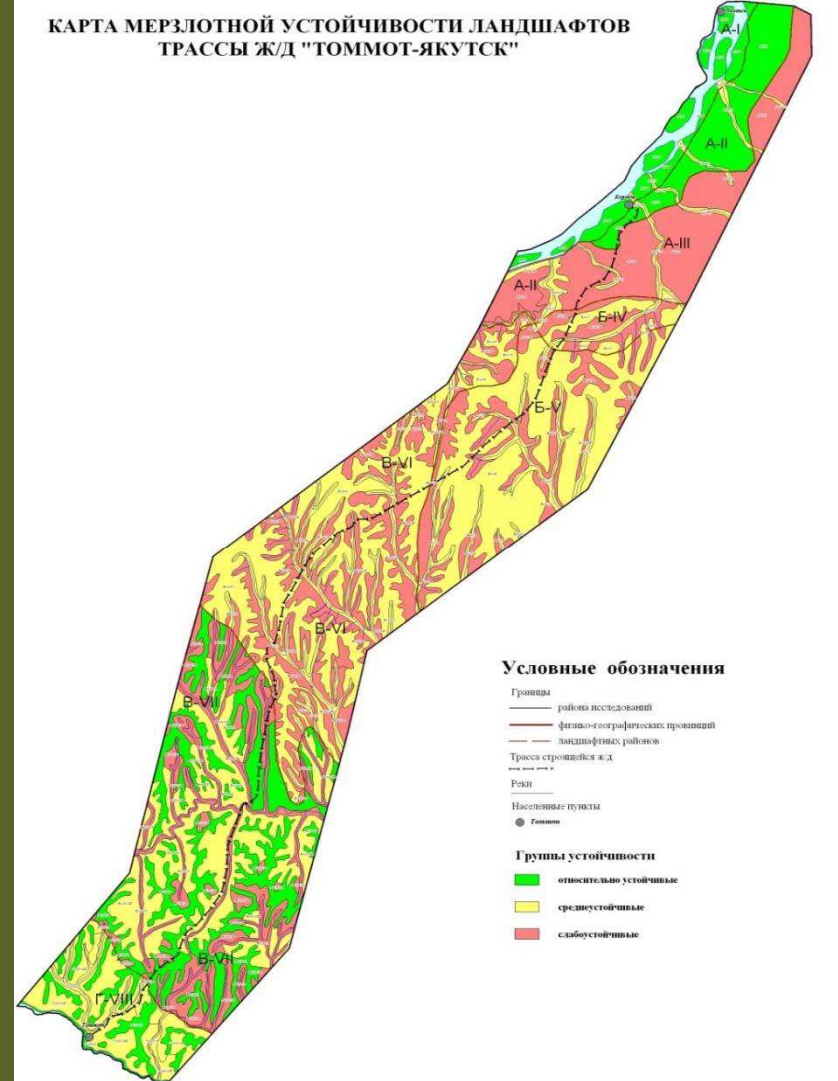
Авторы: Шполянская Н.А., Зотова Л.И.

Трасса ж/д «Томмот-Якутск»

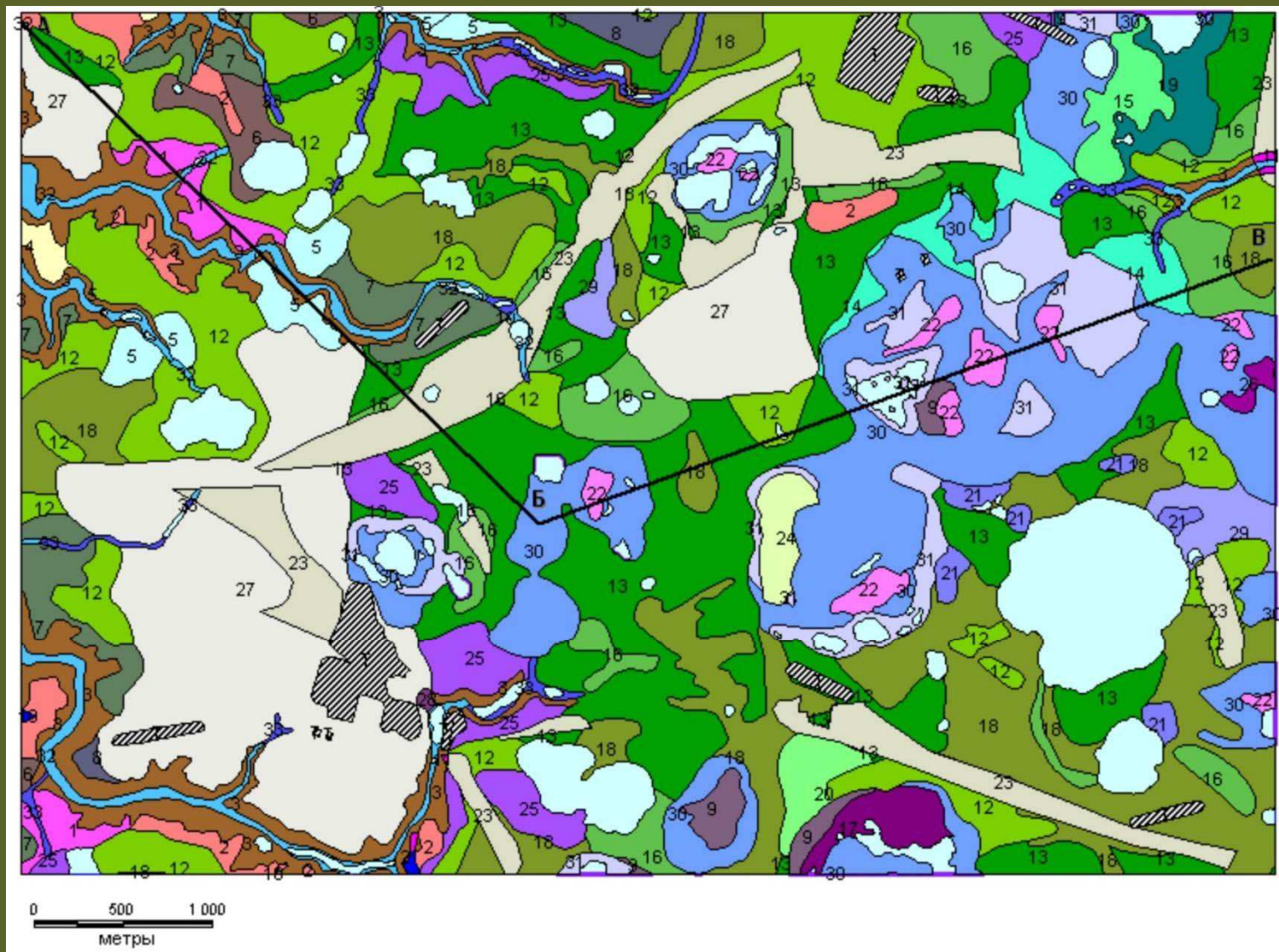
КАРТА ЛАНДШАФТНОГО РАЙОНИРОВАНИЯ
ТРАССЫ Ж/Д "ТОММОТ-ЯКУТСК"



КАРТА МЕРЗЛОТНОЙ УСТОЙЧИВОСТИ ЛАНДШАФТОВ
ТРАССЫ Ж/Д "ТОММОТ-ЯКУТСК"



Ямбург. Ландшафтная карта



масштаб 1:25 000

Интегральные индексы для расчета опасности хозяйственного освоения

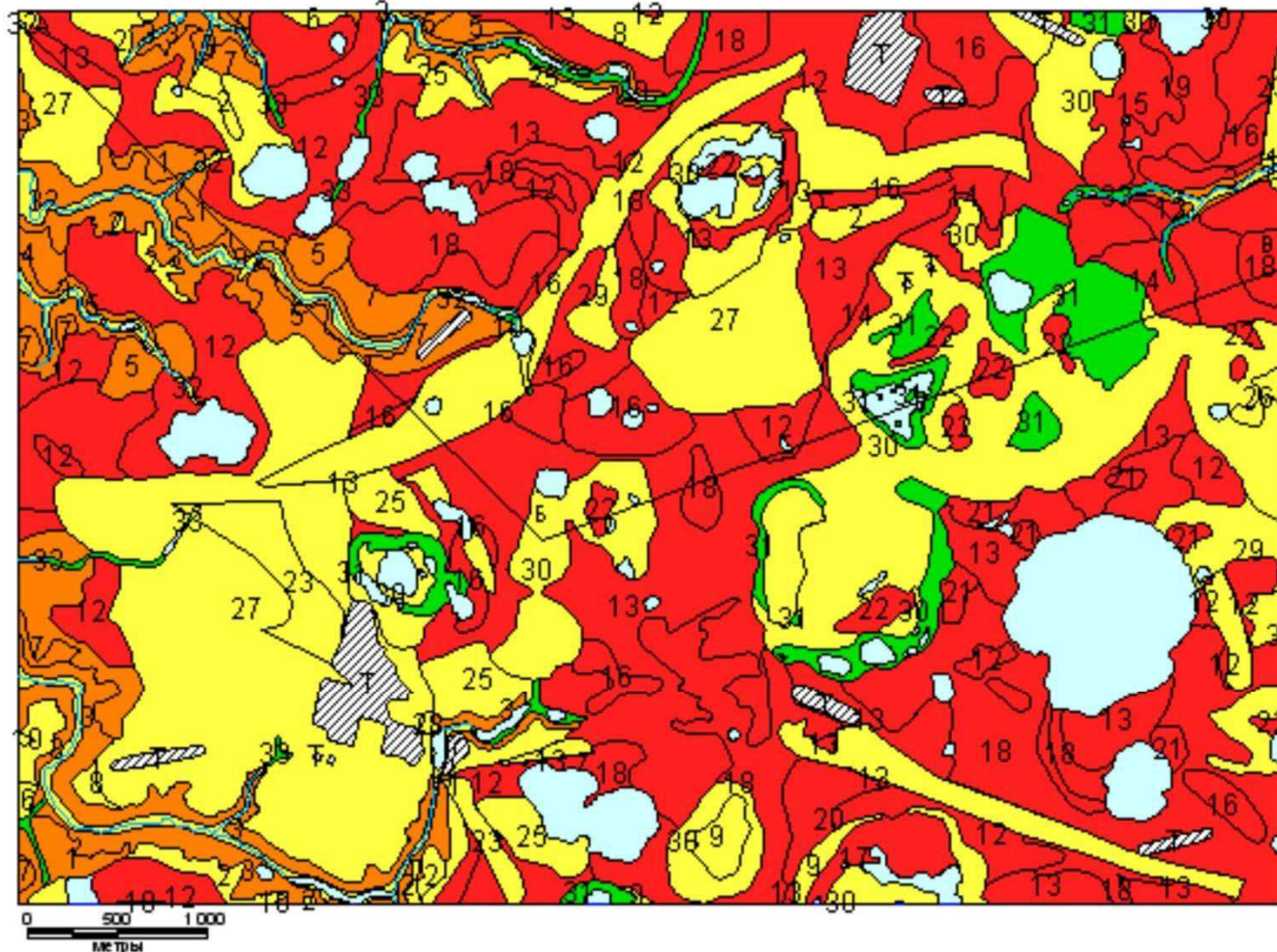
- Сумма баллов; в т.ч. по матрице
- Произведение баллов;
- Среднеарифметическое баллов/центров;
- Среднегеометрическое центров – K_0 ;

- *Расчетно-статистические:*
 - Коэффициент мерзлотной устойчивости – $KМУ$;
 - Коэффициент экологической опасности – $KЭО$.

Пример ранжирования ПТК с учетом градаций расчетных индексов

| Индекс | ПТК | Критерии | | | | | | Пояснения | Потенциально опасные экзогенные процесс | КМУ эксп. ед | КМУ расчет нед. | Степень устойчивости ПТК |
|--------|--|----------|----------|----------|----------|----------|----------|---|---|--------------|-----------------|--------------------------|
| | | T | W | P | V | R | D | | | | | |
| 20 | Торфяники выпуклые бугристые с ПЖЛ, сложенные торфом >3,5м | 1 | 3 | 3 | 3 | 2 | 3 | Максимальная льдистость, высокие протекторные свойства торфяного покрова, очень слабое восстановление растительности | Глубокий термокарст по ПЖЛ, вытаивание жильных льдов, интенсивная термоэрозия по трещинам | 1.000 | 0.980 | неустойчивые |
| 17 | Хасыреи, занятые торфяниками трещиновато-полигональными на минеральных грунтах | 1 | 2 | 3 | 3 | 2 | 3 | Средняя льдистость, большая теплоизолирующая роль торфа, очень слабое восстановление растительности | Термокарст, сезонное пучение, заболачивание | 0.900 | 0.899 | |
| 5 | Слабодренированные плакоры на пылеватых песках, занятые ерниковой тундрой | 2 | 2 | 2 | 2 | 3 | 2 | Средняя льдистость, хорошие теплоизолирующие свойства ерника, среднее восстановление растительности, высокая размываемость почвогрунтов | Интенсивное заболачивание, сезонное пучение, термоэрозия | 0.700 | 0.695 | отн. неустойчивые |
| 1 | Дренированные плакоры на пылеватых песках, занятые лишайниковыми тундрами | 1 | 2 | 1 | 2 | 3 | 1 | Средняя льдистость, маломощный растительный покров, среднее восстановление растительности, высокая размываемость почвогрунтов | Активная дефляция, термоэрозия, вытаивание льдистых песков, сезонное пучение | 0.600 | 0.631 | |
| 32 | Закустаренные долины малых рек | 3 | 2 | 2 | 2 | 2 | 2 | Средняя льдистость, закрепляющая и снегозадерживающая роль кустарников, среднее восстановление растительности | Активизация термоэрозии, термокарст, оврагообразование, оплывание, пучение | 0.450 | 0.474 | Слабоустойчивые |
| 29, 30 | Верховые болота на оторфованных песках | 3 | 2 | 1 | 2 | 2 | 3 | Высокая обводненность, средняя льдистость, малая теплоизоляция покровов, среднее восстановление растительности | Термокарст, активное площадное пучение, заболачивание, | 0.400 | 0.407 | |
| 31 | Низинные болота в хасыреях на оторфованных супесях и минеральных отложениях | 3 | 2 | 1 | 2 | 2 | 3 | Обводненность, средняя льдистость, малая теплоизоляция покровов, наиболее быстрое | Сезонное пучение | 0.200 | 0.172 | отн. устойчивые |
| 33 | Заболоченные ложбины стока | 3 | 2 | 1 | 1 | 2 | 2 | Средняя льдистость, маломощный растительный покров, быстрая восстанавливаемость растительности | Сезонное пучение | 0.150 | 0.152 | |

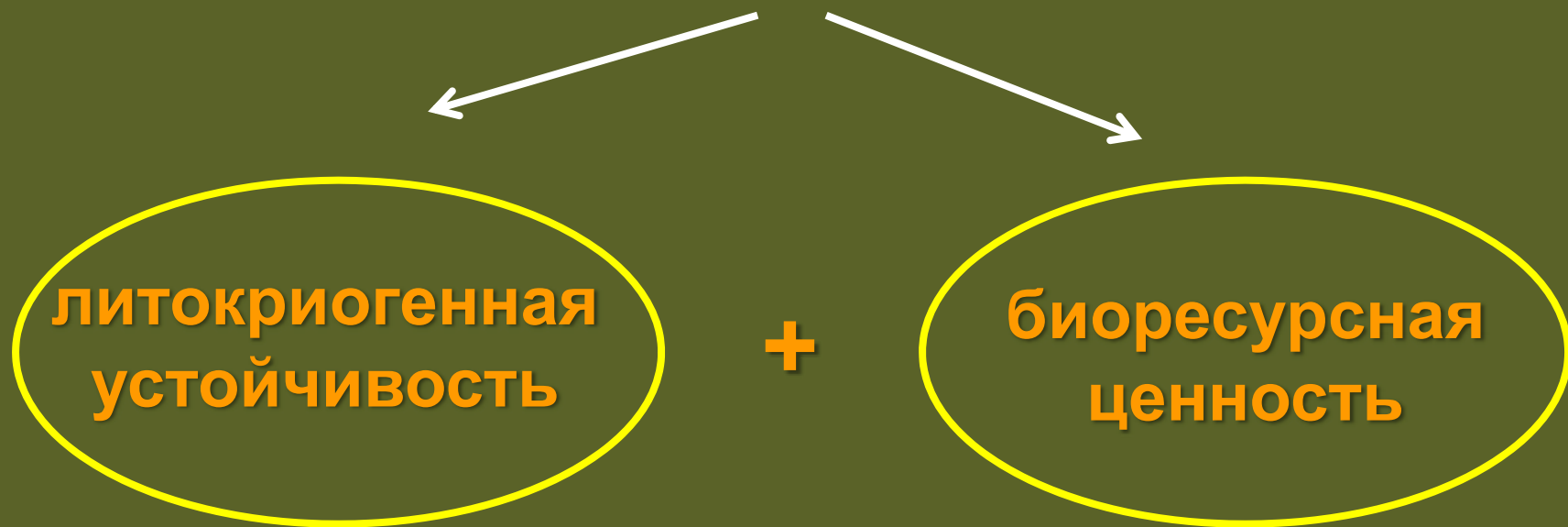
Мерзлотная устойчивость



■ Неустойчивые ■ Относительно неустойчивые ■ Слабоустойчивые ■ Относительно устойчивые

$$KМУ = -0.608 - 0.042T + 0.084W + 0.085P + 0.236V + 0.179R + 0.019D$$

КАРТЫ МЕРЗЛОТНО-БИОТИЧЕСКОГО СОСТОЯНИЯ



Масштабы 1:25 000 – 1:500 000

Яр-Сале. Серия оценочных ГИС-карт

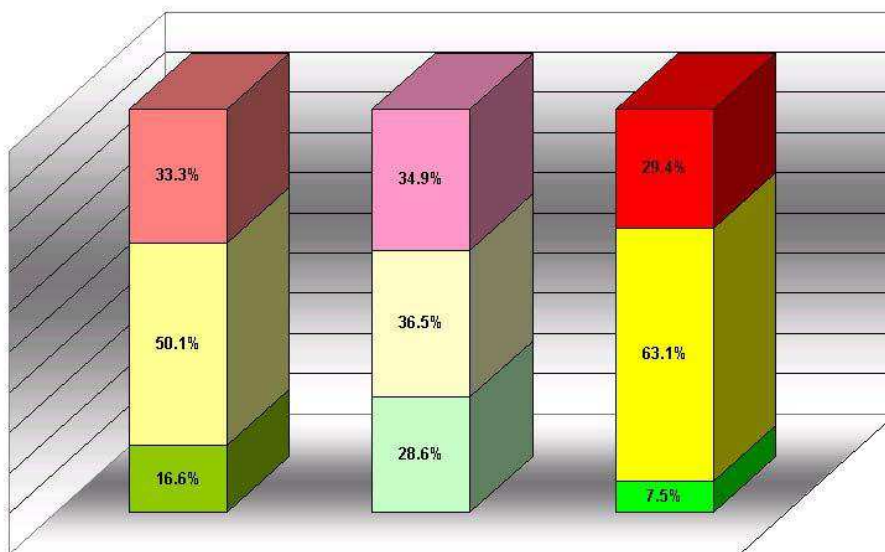
Эколого-биотическая ценность



Мерзлотная устойчивость

Опасность хозяйств. освоения

Сравнительный анализ мерзлотной, биотической и комплексной устойчивости



Мерзлотная устойчивость (КМУ)

Биотическая устойчивость (КБУ)

Опасность освоения (КЭО)

$$КБЦ = - 0,099 + 0,075G + 0,038V + 0,192R - 0,049N$$

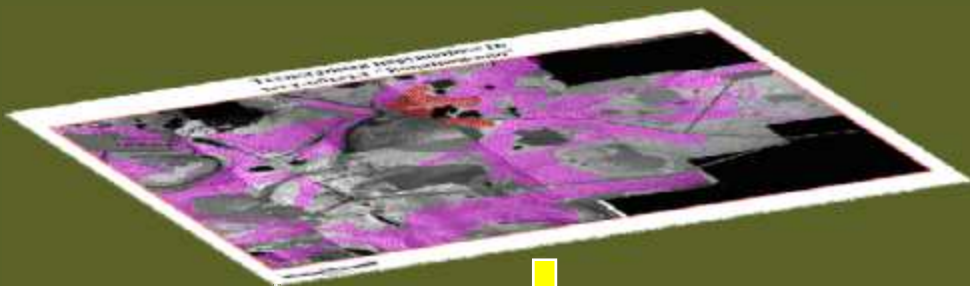
$$КМУ = 0,350 - 0,012T + 0,093W - 0,0364S + 0,037P$$

$$КЭО = 0,440 - 0,03T + 0,055W - 0,032P - 0,023S + 0,045V + 0,072R + 0,016G$$

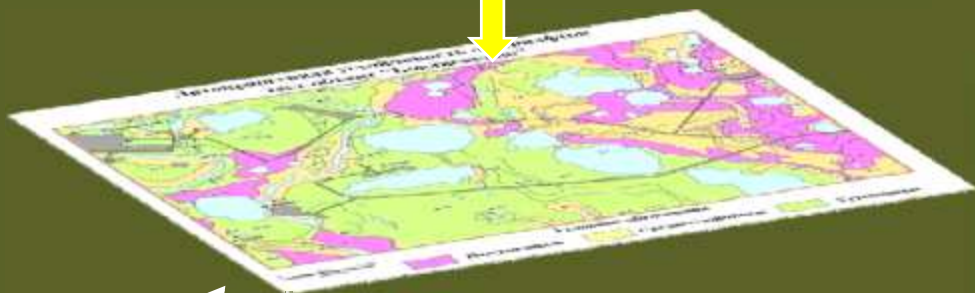
Карты геоэкологических ситуаций

Масштабы 1:25 000 – 1:100 000

Принцип создания карт геоэкологических ситуаций



← Техногенная
нагрузка



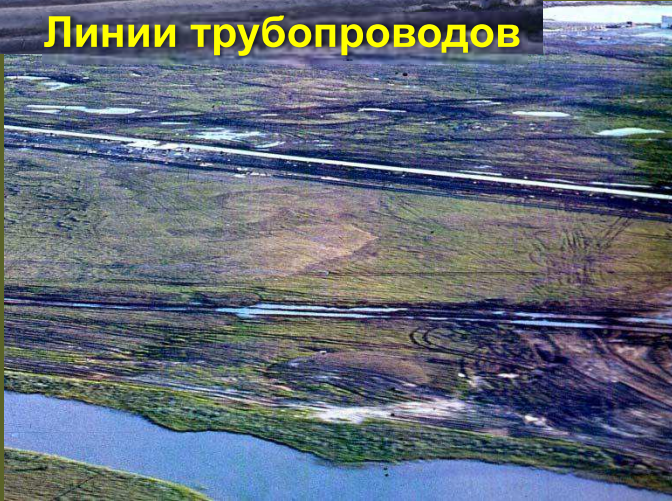
↑ Литокриогенная
устойчивость
ландшафтов



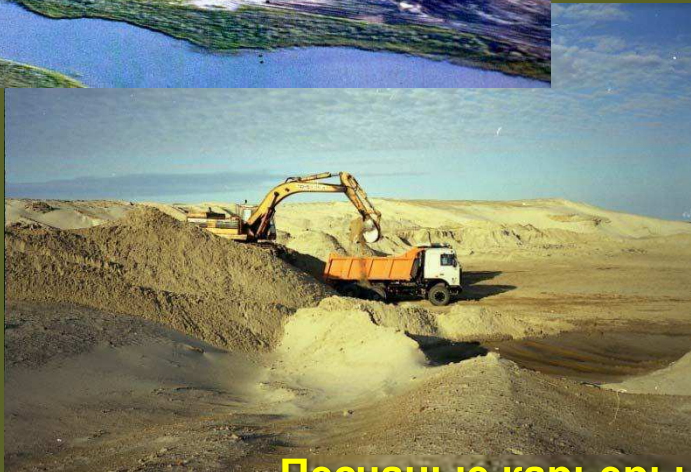
Антропогенные нарушения



Линии трубопроводов



Пастбищная дигрессия



Песчаные карьеры

Оценка формирования геоэкологических ситуаций

| | | → активизация экзогенных процессов → | | | |
|-------------------------------|--|--|---|---|---|
| | | относительно устойчивые | слабо-устойчивые | относительно неустойчивые | неустойчивые |
| ← степень воздействия ← | Группы мерзлотной устойчивости КМУ | <0,35 | 0,4-0,55 | 0,6-0,7 | >0,8 |
| | Антропогенное воздействие (механическая нарушенность, %% от площади зоны) | 1 | 2 | 3 | 4 |
| | БАЛЛ | 1 | 2 | 3 | 4 |
| | слабое (5%) | 1 |  сумма баллов 2 |  сумма баллов 3 |  сумма баллов 4 |
| умеренное (10%) | 2 |  сумма баллов 3 |  сумма баллов 4 |  сумма баллов 5 |  сумма баллов 6 |
| значительное (20%) | 3 |  сумма баллов 4 |  сумма баллов 5 |  сумма баллов 6 |  сумма баллов 7 |
| сильное (50%) | 4 |  сумма баллов 5 |  сумма баллов 6 |  сумма баллов 7 |  сумма баллов 8 |

Сумма баллов:

7-8



Тип ситуаций:

кризисная

6



критическая

4-5



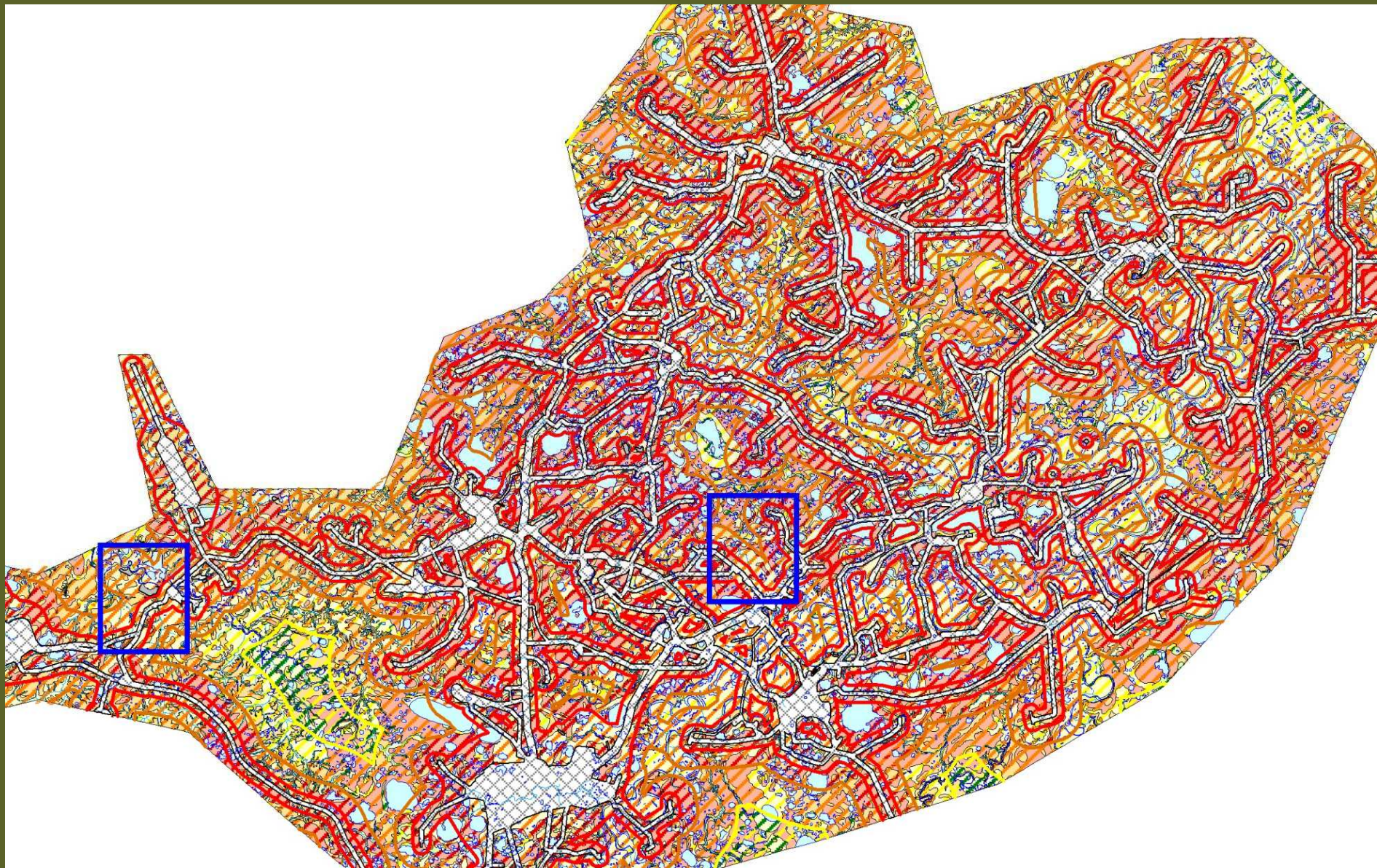
напряженная

2-3



удовлетворительная

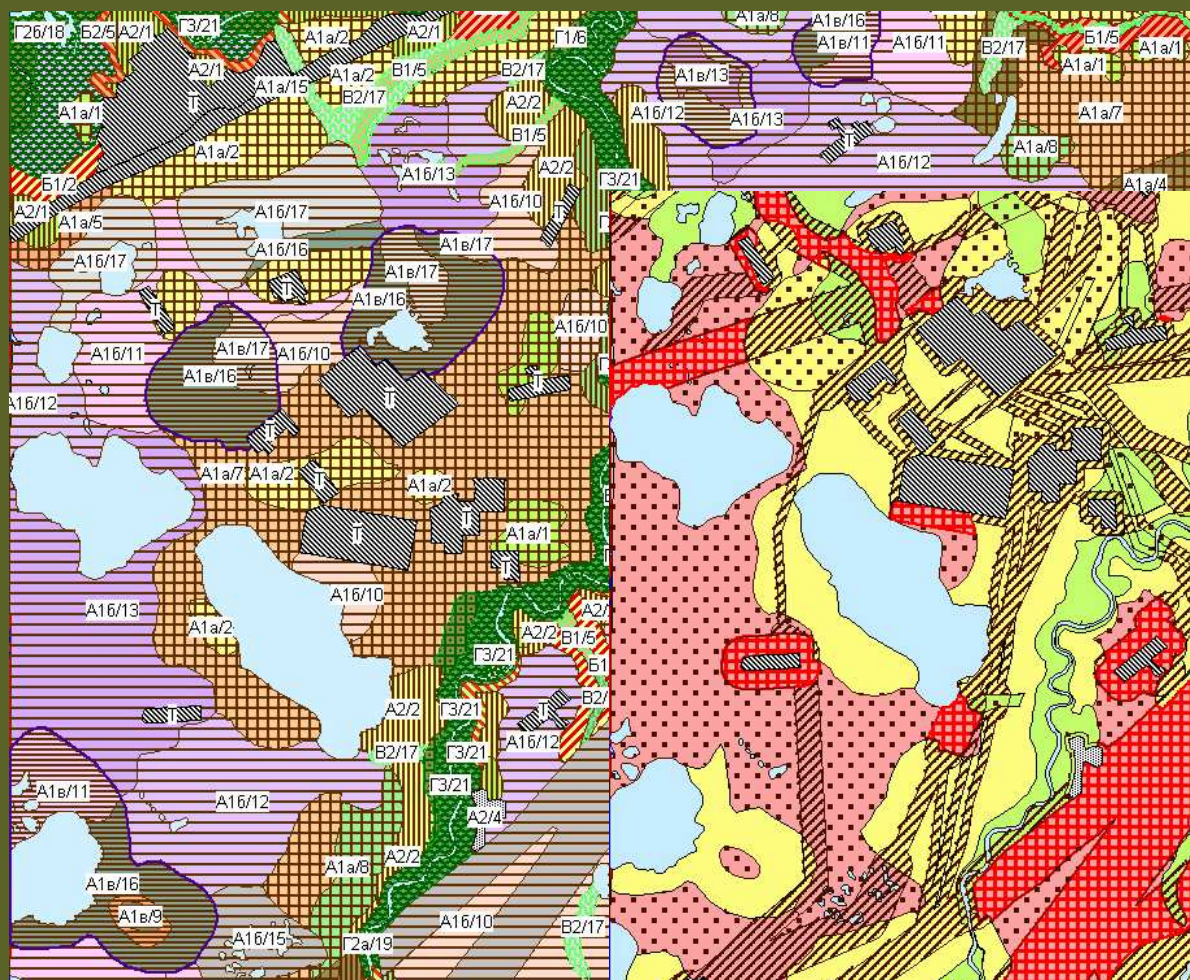
Карта геоэкологических ситуаций Ямбургского месторождения



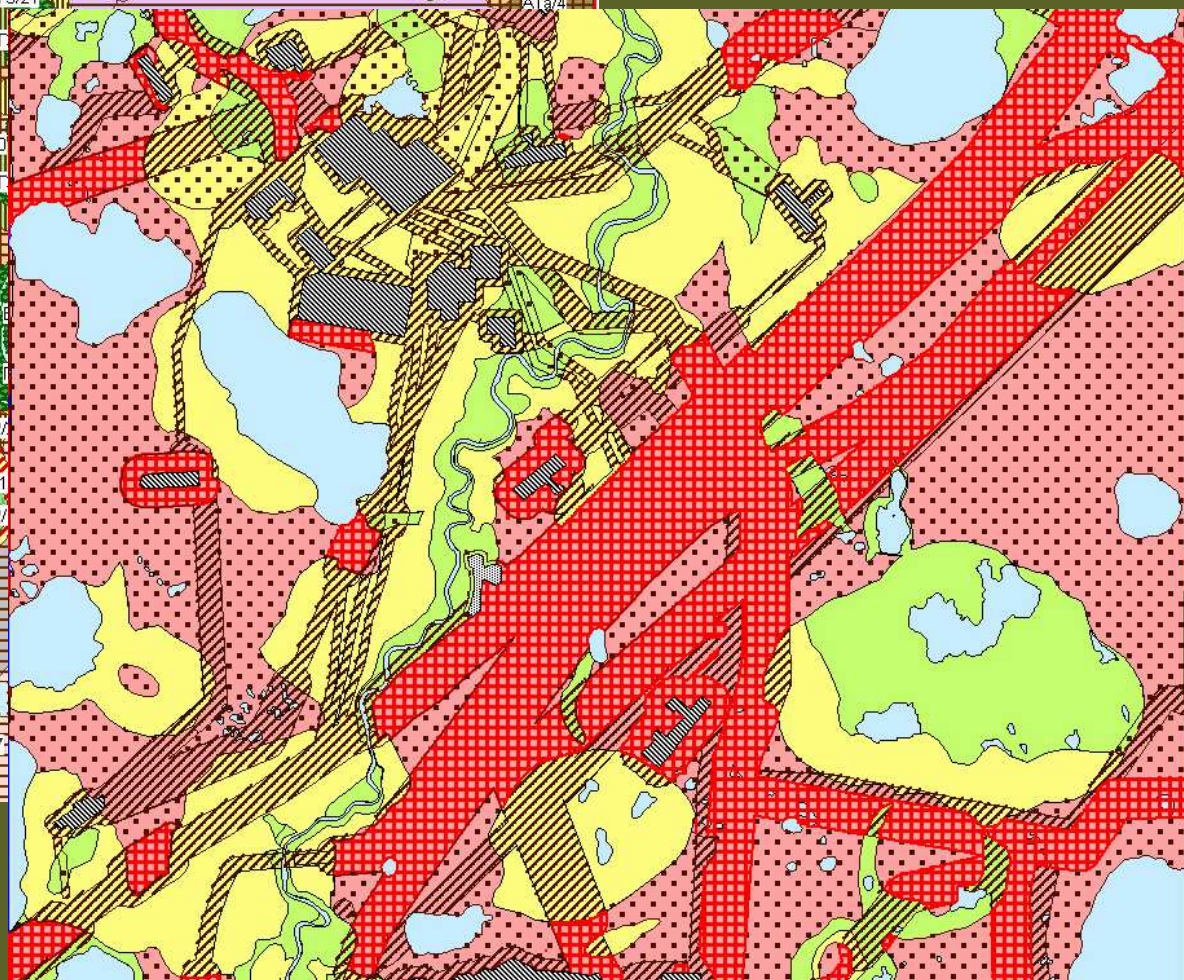
Масштаб 1:100 000

Месторождение Юбилейное

Ландшафтная карта



Карта геоэкологических ситуаций



Масштаб 1:25 000

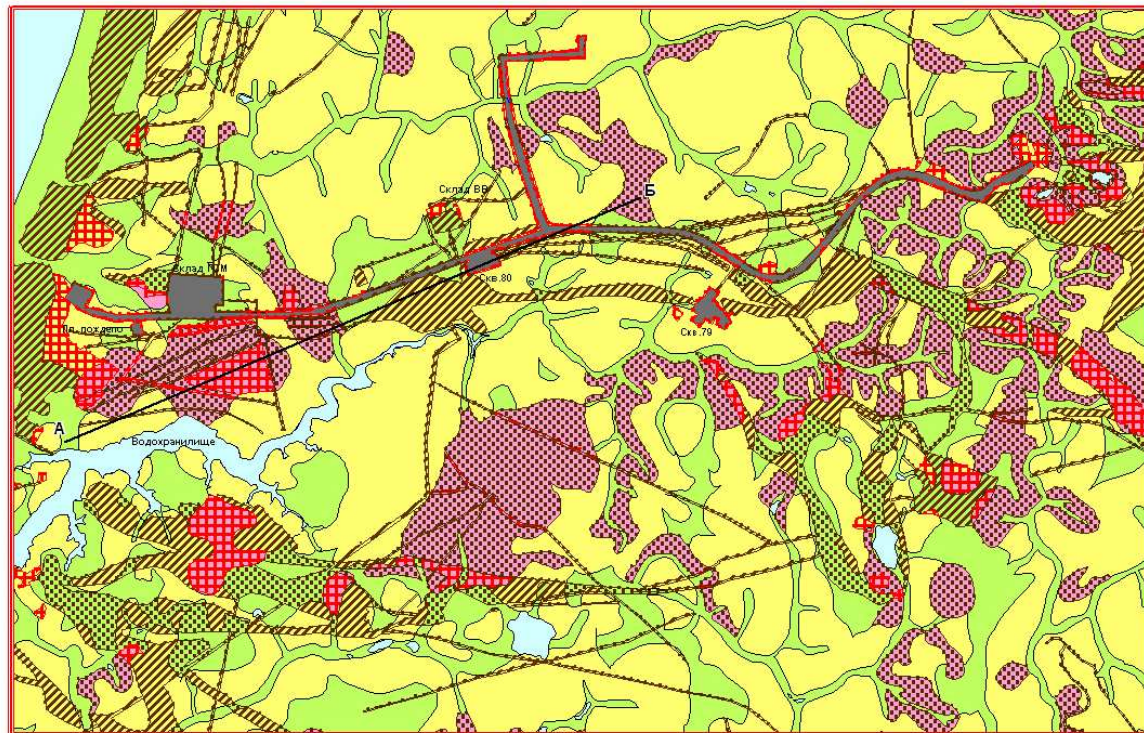
Литокриогенная устойчивость ландшафтов
тест-объект "Харасавэй"



Техногенная нарушенность
тест-объект "Харасавэй"



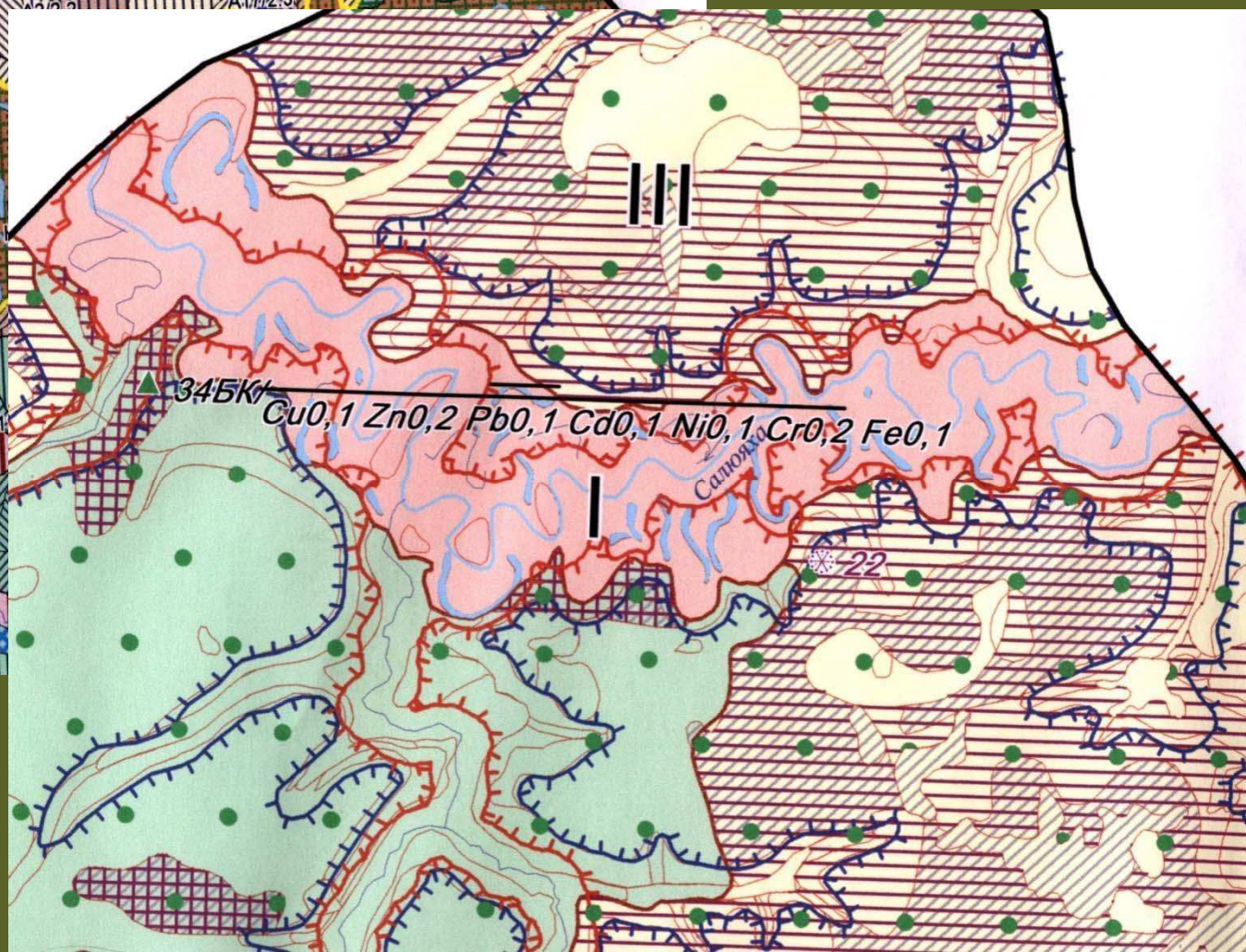
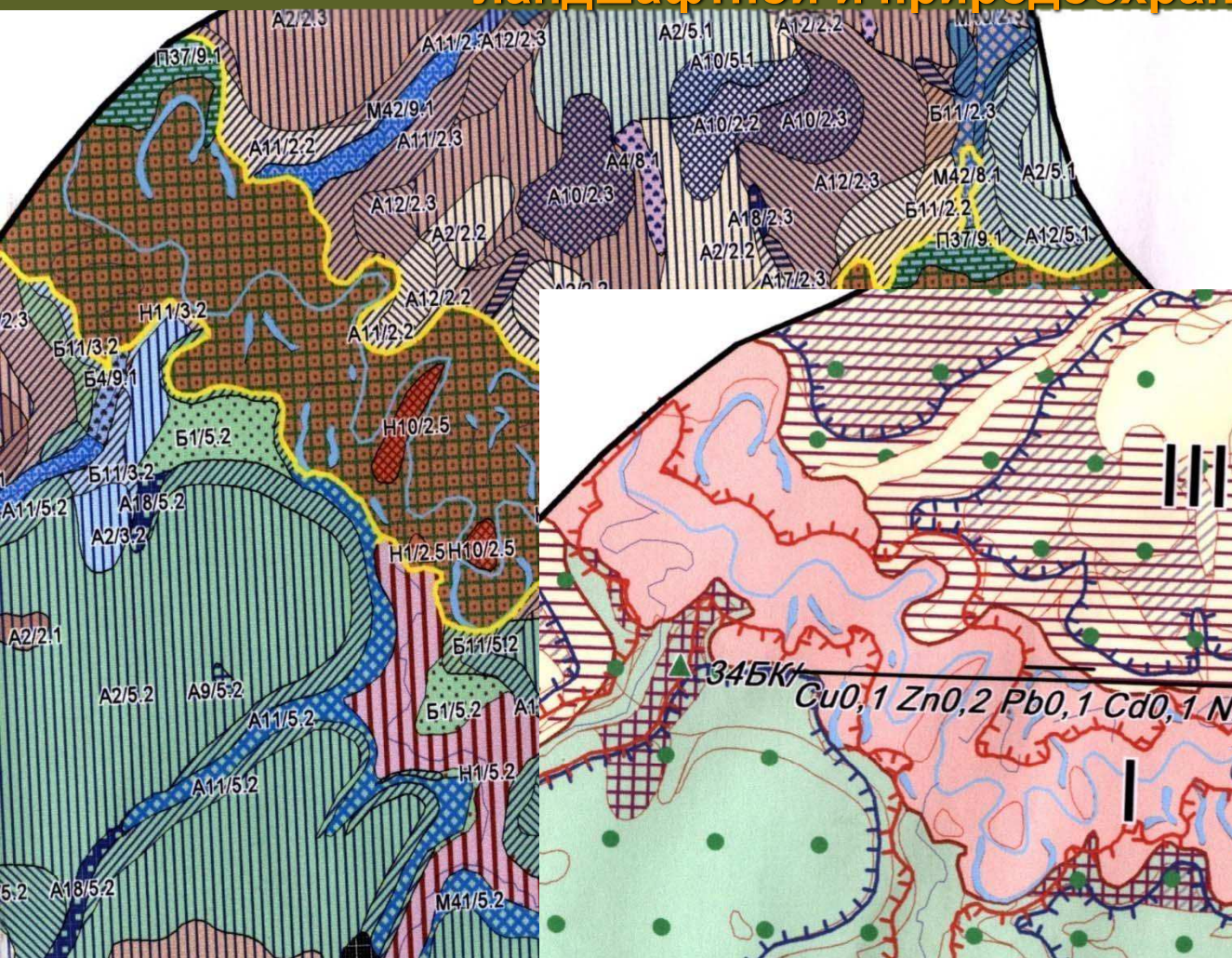
Геоэкологические ситуации
тест-объект "Харасавэй"



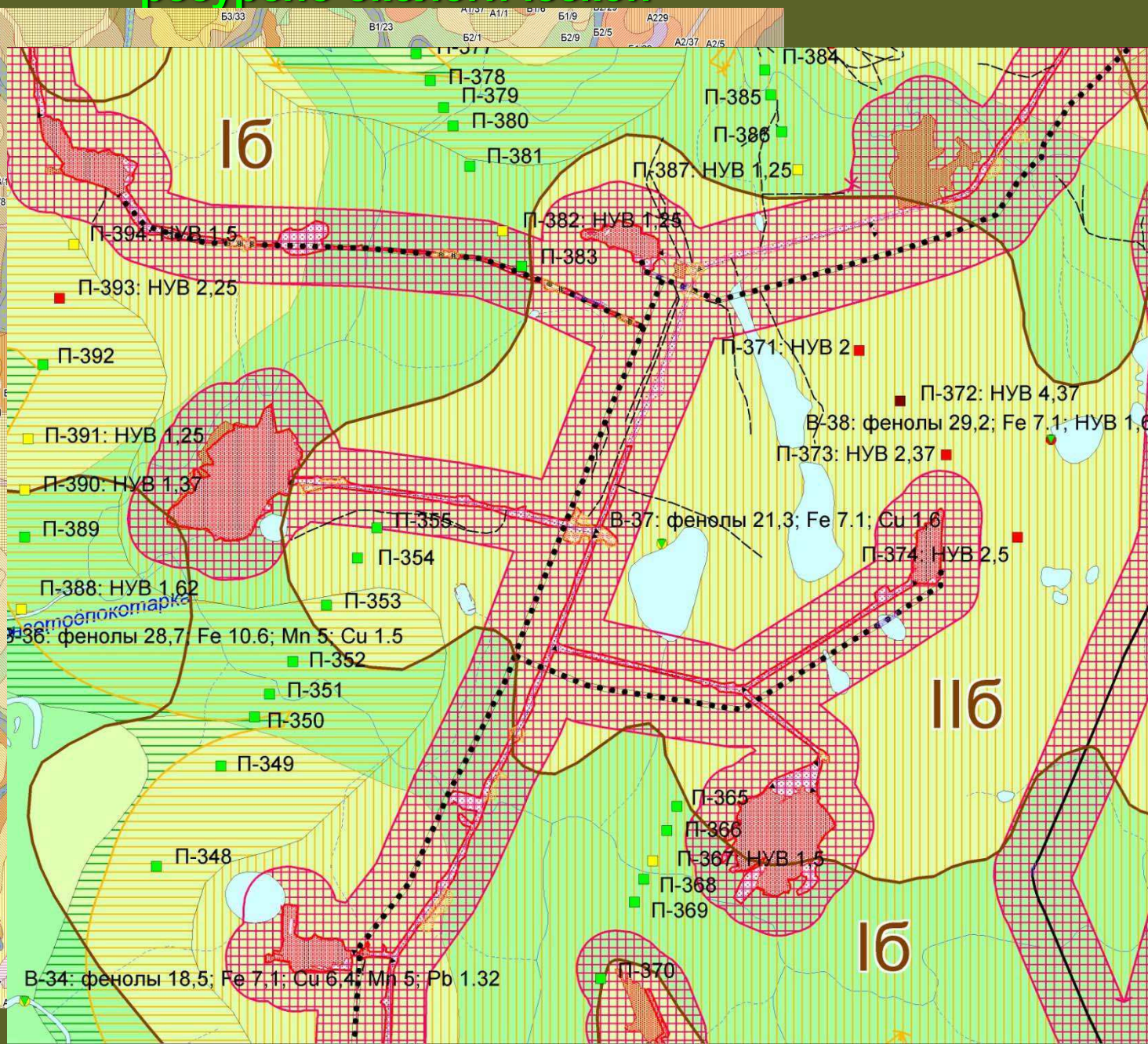
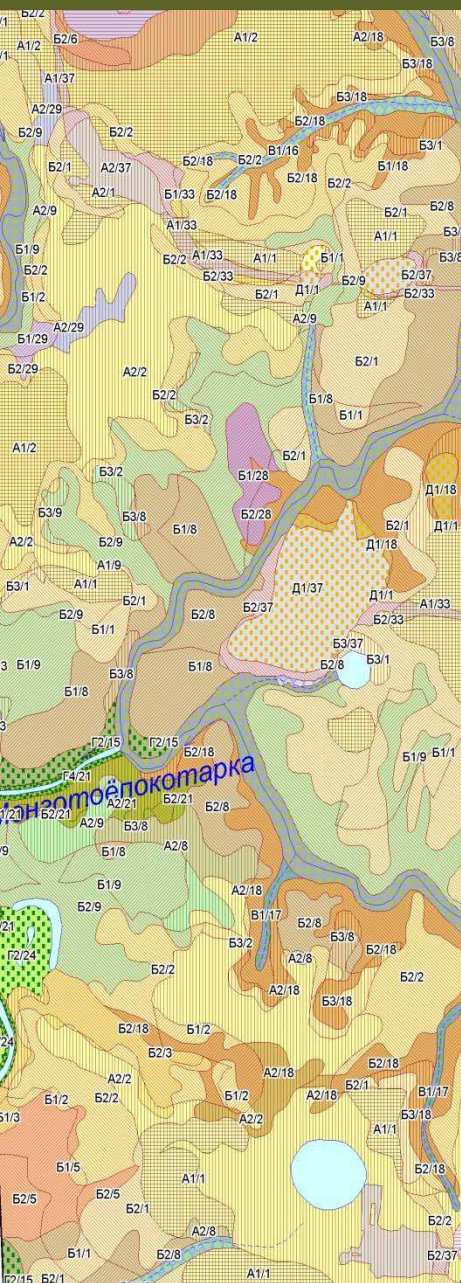
Ресурсно-экологические карты и карты природоохранного районирования

Масштаб 1:25 000

Береговое месторождение. Фрагменты ГИС-карт: ландшафтной и природоохранной



Харвутинское месторождение. Фрагменты ГИС-карт: ландшафтной и ресурсно-экологической



1:25 000

ОЦЕНОЧНЫЕ КАРТЫ МЕРЗЛОТНО-ЭКОЛОГИЧЕСКОГО И РЕСУРСНОГО СОДЕРЖАНИЯ

- карты потенциальной устойчивости ландшафтов к механическим нарушениям;
- карты мерзотно-биотического состояния;
- карты геоэкологических ситуаций;
- карты природоохранного районирования и природно-ресурсного состояния

ЛИТЕРАТУРА

- *Зотова Л.И., Королева Н.А., Дедюсова С.Ю.* Оценка и картографирование кризисных экологических ситуаций на территориях газопромыслового освоения в криолитозоне. // Вестник Моск. ун-та, сер. 5 «География» 2007, №3, с. 54-59.
- *Тумель Н.В., Зотова Л.И., Гребенец В.И.* Концепция устойчивости криогенных ландшафтов / Географические научные школы Московского университета. М., 2008, с.139-144.
- *Зотова Л.И., Дедюсова С.Ю.* Комплексная оценка литокриогенного и биоресурсного состояния северных геосистем. Материалы Четвертой конференции геокриологов России, МГУ имени М.В.Ломоносова, Т.1, Часть 3. М., 2011, с. 305-312.

Спасибо за внимание!

